

Starkniederschlagshöhen und -spenden gemäß KOSTRA-DWD-2010R

Auswertungszeitraum von 1951 - 2010, Januar - Dezember

Rasterfeld: 49014

Zeile: 49

Spalte: 14

Seite: 1/2

| Dauerstufe D | | Wiederkehrzeit T | | | | | | | | | | | | | | | | | |
|--------------|-----|------------------|------------|------|------------|------|------------|------|------------|------|------------|------|------------|------|------------|------|------------|-------|------------|
| | | 1 a | | 2 a | | 3 a | | 5 a | | 10 a | | 20 a | | 30 a | | 50 a | | 100 a | |
| min | Std | mm | l / (s ha) | mm | l / (s ha) | mm | l / (s ha) | mm | l / (s ha) | mm | l / (s ha) | mm | l / (s ha) | mm | l / (s ha) | mm | l / (s ha) | mm | l / (s ha) |
| 5 | | 5,3 | 176,7 | 6,8 | 226,7 | 7,7 | 256,7 | 8,8 | 293,3 | 10,3 | 343,3 | 11,8 | 393,3 | 12,7 | 423,3 | 13,8 | 460,0 | 15,3 | 510,0 |
| 10 | | 8,4 | 140,0 | 10,5 | 175,0 | 11,7 | 195,0 | 13,3 | 221,7 | 15,4 | 256,7 | 17,6 | 293,3 | 18,8 | 313,3 | 20,4 | 340,0 | 22,5 | 375,0 |
| 15 | | 10,4 | 115,6 | 13,0 | 144,4 | 14,5 | 161,1 | 16,4 | 182,2 | 19,0 | 211,1 | 21,7 | 241,1 | 23,2 | 257,8 | 25,1 | 278,9 | 27,7 | 307,8 |
| 20 | | 11,8 | 98,3 | 14,8 | 123,3 | 16,6 | 138,3 | 18,8 | 156,7 | 21,8 | 181,7 | 24,8 | 206,7 | 26,6 | 221,7 | 28,8 | 240,0 | 31,8 | 265,0 |
| 30 | | 13,7 | 76,1 | 17,4 | 96,7 | 19,6 | 108,9 | 22,3 | 123,9 | 26,0 | 144,4 | 29,6 | 164,4 | 31,8 | 176,7 | 34,5 | 191,7 | 38,2 | 212,2 |
| 45 | | 15,3 | 56,7 | 19,9 | 73,7 | 22,5 | 83,3 | 25,8 | 95,6 | 30,4 | 112,6 | 34,9 | 129,3 | 37,5 | 138,9 | 40,8 | 151,1 | 45,4 | 168,1 |
| 60 | | 16,3 | 45,3 | 21,5 | 59,7 | 24,6 | 68,3 | 28,4 | 78,9 | 33,7 | 93,6 | 38,9 | 108,1 | 41,9 | 116,4 | 45,8 | 127,2 | 51,0 | 141,7 |
| 90 | | 17,9 | 33,1 | 23,3 | 43,1 | 26,5 | 49,1 | 30,5 | 56,5 | 35,9 | 66,5 | 41,3 | 76,5 | 44,5 | 82,4 | 48,5 | 89,8 | 53,9 | 99,8 |
| 120 | 2 | 19,2 | 26,7 | 24,7 | 34,3 | 28,0 | 38,9 | 32,1 | 44,6 | 37,7 | 52,4 | 43,2 | 60,0 | 46,5 | 64,6 | 50,6 | 70,3 | 56,1 | 77,9 |
| 180 | 3 | 21,1 | 19,5 | 26,9 | 24,9 | 30,2 | 28,0 | 34,5 | 31,9 | 40,3 | 37,3 | 46,0 | 42,6 | 49,4 | 45,7 | 53,7 | 49,7 | 59,4 | 55,0 |
| 240 | 4 | 22,5 | 15,6 | 28,5 | 19,8 | 31,9 | 22,2 | 36,3 | 25,2 | 42,2 | 29,3 | 48,2 | 33,5 | 51,6 | 35,8 | 56,0 | 38,9 | 61,9 | 43,0 |
| 360 | 6 | 24,8 | 11,5 | 30,9 | 14,3 | 34,5 | 16,0 | 39,1 | 18,1 | 45,2 | 20,9 | 51,4 | 23,8 | 55,0 | 25,5 | 59,5 | 27,5 | 65,7 | 30,4 |
| 540 | 9 | 27,3 | 8,4 | 33,6 | 10,4 | 37,4 | 11,5 | 42,1 | 13,0 | 48,5 | 15,0 | 54,9 | 16,9 | 58,6 | 18,1 | 63,3 | 19,5 | 69,7 | 21,5 |
| 720 | 12 | 29,2 | 6,8 | 35,7 | 8,3 | 39,6 | 9,2 | 44,4 | 10,3 | 50,9 | 11,8 | 57,5 | 13,3 | 61,3 | 14,2 | 66,2 | 15,3 | 72,7 | 16,8 |
| 1080 | 18 | 32,1 | 5,0 | 38,9 | 6,0 | 42,8 | 6,6 | 47,9 | 7,4 | 54,7 | 8,4 | 61,5 | 9,5 | 65,4 | 10,1 | 70,5 | 10,9 | 77,3 | 11,9 |
| 1440 | 24 | 34,3 | 4,0 | 41,3 | 4,8 | 45,4 | 5,3 | 50,5 | 5,8 | 57,5 | 6,7 | 64,5 | 7,5 | 68,6 | 7,9 | 73,7 | 8,5 | 80,7 | 9,3 |
| 2880 | 48 | 42,0 | 2,4 | 49,5 | 2,9 | 53,9 | 3,1 | 59,4 | 3,4 | 66,9 | 3,9 | 74,4 | 4,3 | 78,8 | 4,6 | 84,4 | 4,9 | 91,9 | 5,3 |
| 4320 | 72 | 47,2 | 1,8 | 55,0 | 2,1 | 59,6 | 2,3 | 65,4 | 2,5 | 73,2 | 2,8 | 81,0 | 3,1 | 85,6 | 3,3 | 91,4 | 3,5 | 99,2 | 3,8 |

Angaben in mm: Bemessungsniederschlagswerte h(n)

Angaben in l / (s ha): Regenspende R(n) mit $R(n) = h(n) \times 1,666667 / D[\text{min}]$

Toleranzbereiche:

+/- 10 % für $1 a \leq T \leq 5 a$

+/- 15 % für $5 a < T \leq 50 a$

+/- 20 % für $50 a < T \leq 100 a$

Datenbasis: KOSTRA-DWD-2010R des Deutschen Wetterdienstes. Die Regenspende wurde auf Basis des Bemessungsniederschlags zur jeweiligen Andauer berechnet.

Für die Richtigkeit und Aktualität der Angaben wird keine Gewähr übernommen. Erstellt 07/2022.

Starkniederschlagshöhen und -spenden gemäß KOSTRA-DWD-2010R

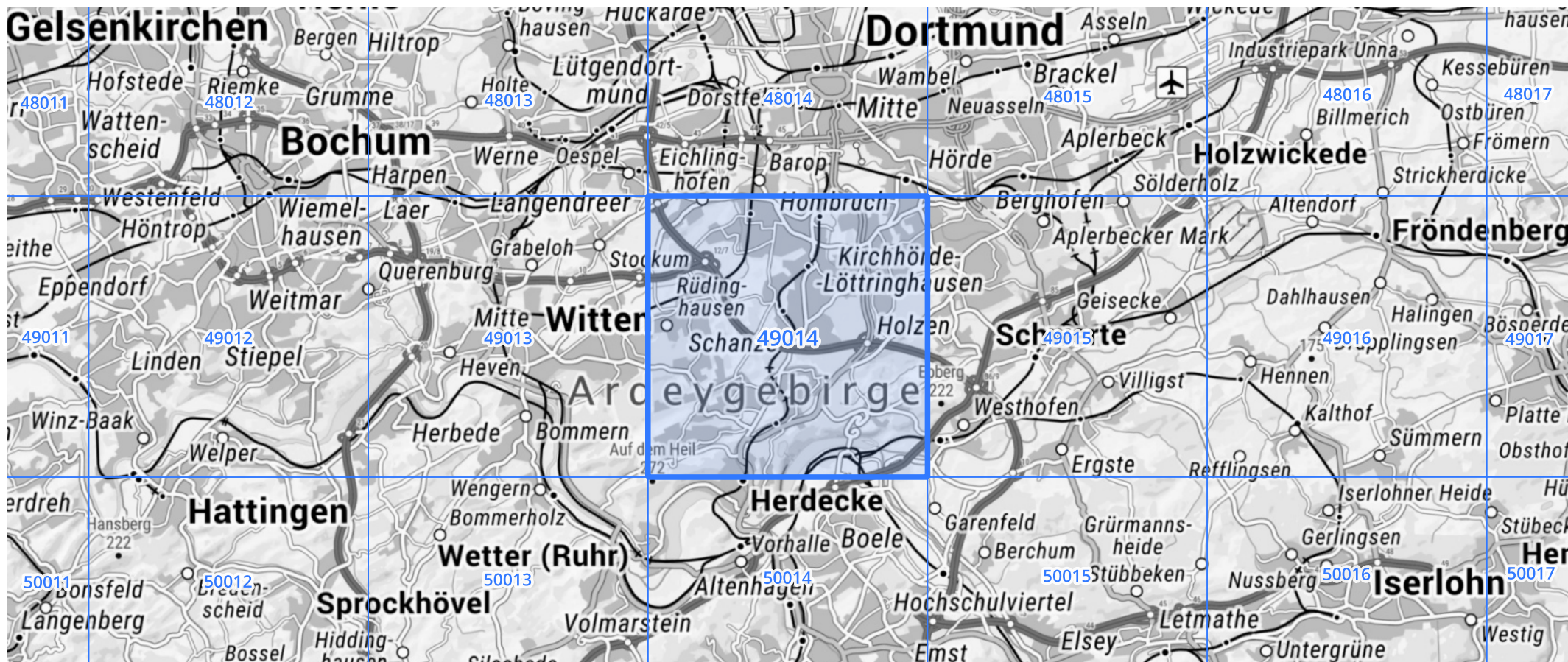
Auswertungszeitraum von 1951 - 2010, Januar - Dezember

Rasterfeld: 49014

Zeile: 49

Spalte: 14

Seite: 2/2



Quelle Rasterdaten: KOSTRA-DWD-2010R des Deutschen Wetterdienstes.

Kartendarstellung: © Bundesamt für Kartographie und Geodäsie (2022), Datenquellen: https://sgx.geodatenzentrum.de/web_public/gdz/datenquellen/Datenquellen_TopPlusOpen.html

Für die Richtigkeit und Aktualität der Angaben wird keine Gewähr übernommen. Erstellt 07/2022.